

Zulassungsstelle für Bauprodukte und Bauarten

Bautechnisches Prüfamt

Eine vom Bund und den Ländern
gemeinsam getragene Anstalt des öffentlichen Rechts



Europäische Technische Bewertung

ETA-09/0373
vom 1. Juni 2018

Allgemeiner Teil

Technische Bewertungsstelle, die die Europäische Technische Bewertung ausstellt

Handelsname des Bauprodukts

Produktfamilie,
zu der das Bauprodukt gehört

Hersteller

Herstellungsbetrieb

Diese Europäische Technische Bewertung enthält

Diese Europäische Technische Bewertung wird ausgestellt gemäß der Verordnung (EU) Nr. 305/2011, auf der Grundlage von

Deutsches Institut für Bautechnik

Apolo MEA Injektionssystem Resifix Pure Epoxi für Beton

Verbunddübel zur Verankerung im Beton

Apolo MEA Befestigungssysteme GmbH
Industriestraße 6
86551 Aichach
DEUTSCHLAND

Apolo MEA Befestigungssysteme GmbH, Plant2 Germany

25 Seiten, davon 3 Anhänge, die fester Bestandteil dieser Bewertung sind.

EAD 330499-00-0601

Die Europäische Technische Bewertung wird von der Technischen Bewertungsstelle in ihrer Amtssprache ausgestellt. Übersetzungen dieser Europäischen Technischen Bewertung in andere Sprachen müssen dem Original vollständig entsprechen und müssen als solche gekennzeichnet sein.

Diese Europäische Technische Bewertung darf, auch bei elektronischer Übermittlung, nur vollständig und ungekürzt wiedergegeben werden. Nur mit schriftlicher Zustimmung der ausstellenden Technischen Bewertungsstelle kann eine teilweise Wiedergabe erfolgen. Jede teilweise Wiedergabe ist als solche zu kennzeichnen.

Die ausstellende Technische Bewertungsstelle kann diese Europäische Technische Bewertung widerrufen, insbesondere nach Unterrichtung durch die Kommission gemäß Artikel 25 Absatz 3 der Verordnung (EU) Nr. 305/2011.

Besonderer Teil

1 Technische Beschreibung des Produkts

Das "Apolo MEA Injektionssystem Resifix Pure Epoxi für Beton" ist ein Verbunddübel, der aus einer Mörtelkartusche mit Apolo MEA Injektionsmörtel Resifix Pure Epoxi und einem Stahlteil besteht. Das Stahlteil ist eine handelsübliche Gewindestange mit Scheibe und Sechskantmutter in den Größen M8 bis M30 oder ein Betonstahl in den Größen $\varnothing 8$ bis $\varnothing 32$ mm oder einer Innengewindestange IG-M6 bis IG-M20.

Das Stahlteil wird in ein mit Injektionsmörtel gefülltes Bohrloch gesteckt und durch Verbund zwischen Stahlteil, Injektionsmörtel und Beton verankert.

Die Produktbeschreibung ist in Anhang A angegeben.

2 Spezifizierung des Verwendungszwecks gemäß anwendbarem Europäischen Bewertungsdokument

Von den Leistungen in Abschnitt 3 kann nur ausgegangen werden, wenn der Dübel entsprechend den Angaben und unter den Randbedingungen nach Anhang B verwendet wird.

Die Prüf- und Bewertungsmethoden, die dieser Europäischen Technischen Bewertung zu Grunde liegen, führen zur Annahme einer Nutzungsdauer des Dübels von mindestens 50 Jahren. Die Angabe der Nutzungsdauer kann nicht als Garantie des Herstellers verstanden werden, sondern ist lediglich ein Hilfsmittel zur Auswahl des richtigen Produkts in Bezug auf die angenommene wirtschaftlich angemessene Nutzungsdauer des Bauwerks.

3 Leistung des Produkts und Angaben der Methoden ihrer Bewertung

3.1 Mechanische Festigkeit und Standsicherheit (BWR 1)

Wesentliches Merkmal	Leistung
Charakteristischer Widerstand unter Zugbeanspruchung (statische und quasi-statische Einwirkungen)	Siehe Anhang C 1, C 2, C 4 und C 6
Charakteristischer Widerstand unter Querbeanspruchung (statische und quasi-statische Einwirkungen)	Siehe Anhang C 1, C 3, C 5 und C 7
Verschiebungen (statische und quasi-statische Einwirkungen)	Siehe Anhang C 8 bis C 10
Charakteristischer Widerstand und Verschiebungen für seismische Leitungskategorien C1 und C2	Siehe Anhang C 2, C 3, C 6 bis C8 und C 10

3.2 Hygiene, Gesundheit und Umweltschutz (BWR 3)

Wesentliches Merkmal	Leistung
Inhalt, Emission und/oder Freisetzung von gefährlichen Stoffen	Leistung nicht bewertet

4 Angewandtes System zur Bewertung und Überprüfung der Leistungsbeständigkeit mit der Angabe der Rechtsgrundlage

Gemäß dem Europäischen Bewertungsdokument EAD 330499-00-0601 gilt folgende Rechtsgrundlage: [96/582/EG].

Folgendes System ist anzuwenden: 1

5 Für die Durchführung des Systems zur Bewertung und Überprüfung der Leistungsbeständigkeit erforderliche technische Einzelheiten gemäß anwendbarem Europäischen Bewertungsdokument

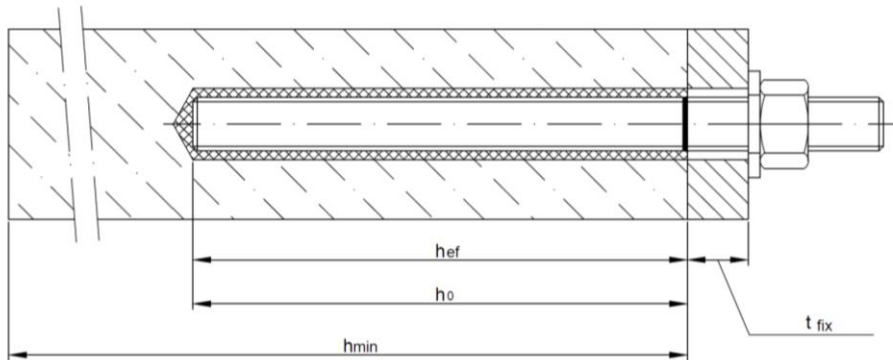
Technische Einzelheiten, die für die Durchführung des Systems zur Bewertung und Überprüfung der Leistungsbeständigkeit notwendig sind, sind Bestandteil des Prüfplans, der beim Deutschen Institut für Bautechnik hinterlegt ist.

Ausgestellt in Berlin am 1. Juni 2018 vom Deutschen Institut für Bautechnik

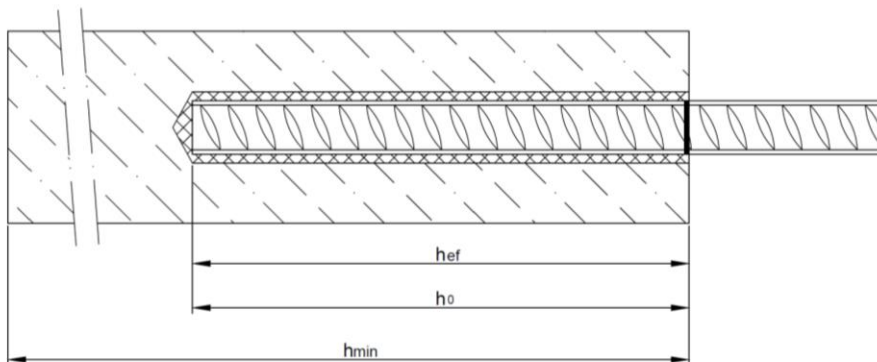
Dr.-Ing. Lars Eckfeldt
i.V. Abteilungsleiter

Beglaubigt:

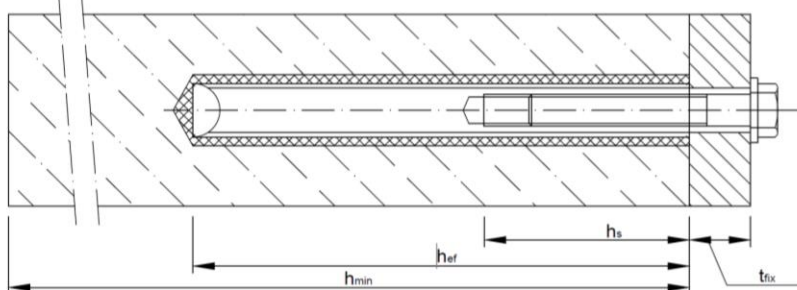
Einbauzustand Ankerstange M8 bis M30



Einbauzustand Betonstahl $\varnothing 8$ bis $\varnothing 32$



Einbauzustand Innengewindehülse IG-M6 bis IG-M20



- t_{fix} = Dicke des Anbauteils
- h_{ef} = effektive Setztiefe
- h_0 = Bohrlochtiefe
- h_{min} = Mindestbauteildicke

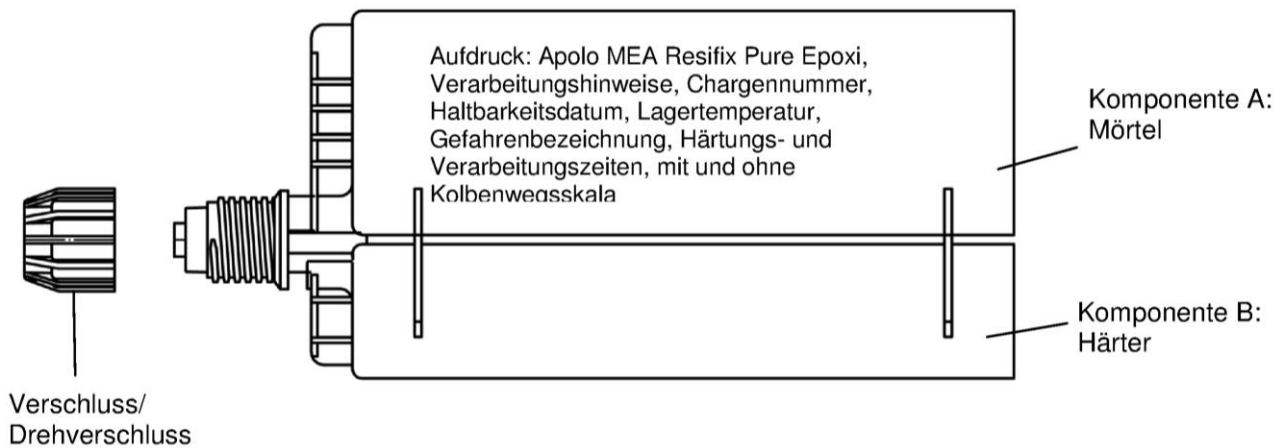
Apolo MEA Injektionssystem Resifix Pure Epoxi für Beton

Produktbeschreibung
Einbauzustand

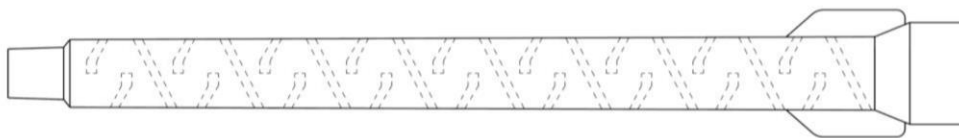
Anhang A 1

Kartusche: Apolo MEA Resifix Pure Epoxi

385ml, 444ml, 585ml, 999ml und 1400ml Verbundmörtel-Kartusche (Typ: "side-by-side")



Statikmischer

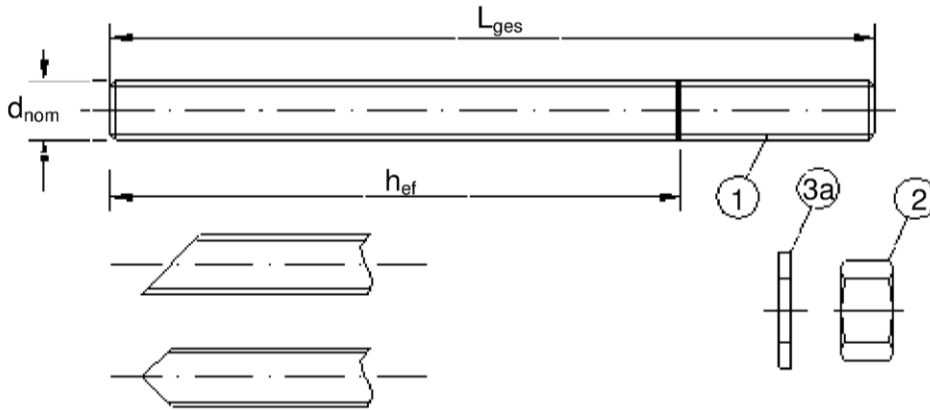


Apolo MEA Injektionssystem Resifix Pure Epoxi für Beton

Produktbeschreibung
Injektionssystem

Anhang A 2

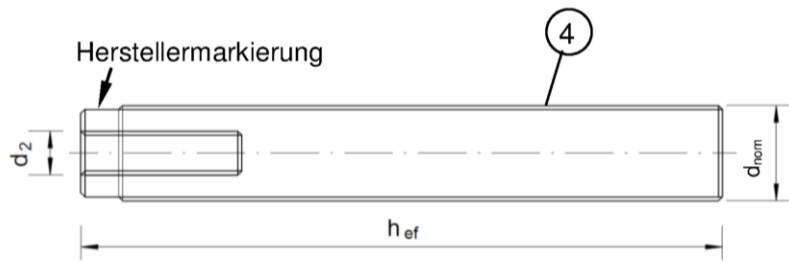
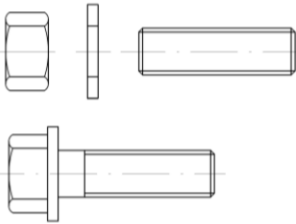
Ankerstange M8, M10, M12, M16, M20, M24, M27, M30 mit Unterlegscheibe und Sechskantmutter



- Handelsübliche Gewindestange mit:
- Werkstoff, Abmessungen und mechanische Eigenschaften gemäß Tabelle A1
 - Abnahmeprüfzeugnis 3.1 gemäß EN 10204:2004
 - Markierung der Setztiefe

Innengewindeankerstange IG-M6, IG-M8, IG-M10, IG-M12, IG-M16, IG-M20

Gewindestange oder Schraube



Markierung: z.B.  M8

 Kennzeichnung Innengewinde

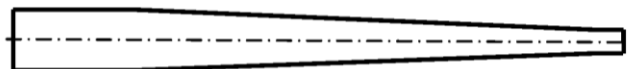
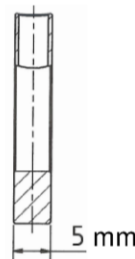
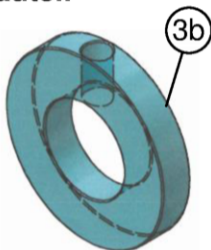
 Werkszeichen

M8 Gewindegröße (Innengewinde)

A4 zusätzliche Kennung für nichtrostenden Stahl

HCR zusätzliche Kennung für hochkorrosionsbeständigen Stahl

Verfüllscheibe und Mischerreduzierstück zum Verfüllen des Ringspalts zwischen Anker und Bauteil



Apolo MEA Injektionssystem Resifix Pure Epoxi für Beton

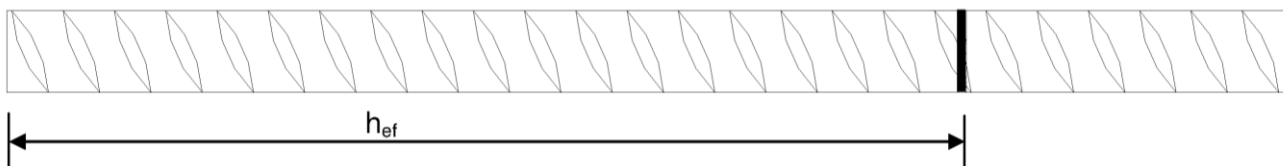
Produktbeschreibung

Ankerstange, Innengewindeankerstange und Verfüllscheibe

Anhang A 3

Tabelle A1: Werkstoffe			
Teil	Benennung	Werkstoff	
Stahlteile aus verzinktem Stahl (Stahl gemäß EN 10087:1998 oder EN 10263:2001) galvanisch verzinkt $\geq 5 \mu\text{m}$ gemäß EN ISO 4042:1999 oder feuerverzinkt $\geq 40 \mu\text{m}$ gemäß EN ISO 1461:2009 und EN ISO 10684:2004+AC:2009 oder diffusionsverzinkt $\geq 40 \mu\text{m}$ gemäß DIN EN 17668:2016-06			
1	Ankerstange	Festigkeitsklasse gemäß EN ISO 898-1:2013	4.6 $f_{\text{uk}}=400 \text{ N/mm}^2; f_{\text{yk}}=240 \text{ N/mm}^2; A_5 > 8\%$ Bruchdehnung
			4.8 $f_{\text{uk}}=400 \text{ N/mm}^2; f_{\text{yk}}=320 \text{ N/mm}^2; A_5 > 8\%$ Bruchdehnung
			5.6 $f_{\text{uk}}=500 \text{ N/mm}^2; f_{\text{yk}}=300 \text{ N/mm}^2; A_5 > 8\%$ Bruchdehnung
			5.8 $f_{\text{uk}}=500 \text{ N/mm}^2; f_{\text{yk}}=400 \text{ N/mm}^2; A_5 > 8\%$ Bruchdehnung
			8.8 $f_{\text{uk}}=800 \text{ N/mm}^2; f_{\text{yk}}=640 \text{ N/mm}^2; A_5 > 12\%$ Bruchdehnung ³⁾
2	Sechskantmutter	Festigkeitsklasse gemäß EN ISO 898-2:2012	4 für Ankerstangen der Klasse 4.6 oder 4.8
			5 für Ankerstangen der Klasse 5.6 oder 5.8
			8 für Ankerstangen der Klasse 8.8
3a	Unterlegscheibe, (z.B.: EN ISO 887:2006, EN ISO 7089:2000, EN ISO 7093:2000 oder EN ISO 7094:2000)	Stahl, galvanisch verzinkt, feuerverzinkt oder diffusionsverzinkt	
3b	Verfüllscheibe		
4	Innengewindeankerstange	Festigkeitsklasse gemäß EN ISO 898-1:2013	5.8 $f_{\text{uk}}=500 \text{ N/mm}^2; f_{\text{yk}}=400 \text{ N/mm}^2; A_5 > 8\%$ Bruchdehnung
			8.8 $f_{\text{uk}}=800 \text{ N/mm}^2; f_{\text{yk}}=640 \text{ N/mm}^2; A_5 > 8\%$ Bruchdehnung
Stahlteile aus nichtrostendem Stahl A2 (Werkstoff 1.4301 / 1.4303 / 1.4307 / 1.4567 oder 1.4541, gemäß EN 10088-1:2014) und Stahlteile aus nichtrostendem Stahl A4 (Werkstoff 1.4401 / 1.4404 / 1.4571 / 1.4362 oder 1.4578, gemäß EN 10088-1:2014)			
1	Ankerstange ¹⁾⁴⁾	Festigkeitsklasse gemäß EN ISO 3506-1:2009	50 $f_{\text{uk}}=500 \text{ N/mm}^2; f_{\text{yk}}=210 \text{ N/mm}^2; A_5 > 12\%$ Bruchdehnung ³⁾
			70 $f_{\text{uk}}=700 \text{ N/mm}^2; f_{\text{yk}}=450 \text{ N/mm}^2; A_5 > 12\%$ Bruchdehnung ³⁾
			80 $f_{\text{uk}}=800 \text{ N/mm}^2; f_{\text{yk}}=600 \text{ N/mm}^2; A_5 > 12\%$ Bruchdehnung ³⁾
2	Sechskantmutter ¹⁾⁴⁾	Festigkeitsklasse gemäß EN ISO 3506-1:2009	50 für Ankerstangen der Klasse 50
			70 für Ankerstangen der Klasse 70
			80 für Ankerstangen der Klasse 80
3a	Unterlegscheibe, (z.B.: EN ISO 887:2006, EN ISO 7089:2000, EN ISO 7093:2000 oder EN ISO 7094:2000)	A2: Werkstoff 1.4301 / 1.4303 / 1.4307 / 1.4567 oder 1.4541, EN 10088-1:2014 A4: Werkstoff 1.4401 / 1.4404 / 1.4571 / 1.4362 oder 1.4578, EN 10088-1:2014	
3b	Verfüllscheibe ⁵⁾		
4	Innengewindeankerstange ¹⁾²⁾	Festigkeitsklasse gemäß EN ISO 3506-1:2009	50 $f_{\text{uk}}=500 \text{ N/mm}^2; f_{\text{yk}}=210 \text{ N/mm}^2; A_5 > 8\%$ Bruchdehnung
			70 $f_{\text{uk}}=700 \text{ N/mm}^2; f_{\text{yk}}=450 \text{ N/mm}^2; A_5 > 8\%$ Bruchdehnung
Stahlteile aus hochkorrosionsbeständigem Stahl (Werkstoff 1.4529 oder 1.4565, gemäß EN 10088-1: 2014)			
1	Ankerstange ¹⁾	Festigkeitsklasse gemäß EN ISO 3506-1:2009	50 $f_{\text{uk}}=500 \text{ N/mm}^2; f_{\text{yk}}=210 \text{ N/mm}^2; A_5 > 12\%$ Bruchdehnung ³⁾
			70 $f_{\text{uk}}=700 \text{ N/mm}^2; f_{\text{yk}}=450 \text{ N/mm}^2; A_5 > 12\%$ Bruchdehnung ³⁾
			80 $f_{\text{uk}}=800 \text{ N/mm}^2; f_{\text{yk}}=600 \text{ N/mm}^2; A_5 > 12\%$ Bruchdehnung ³⁾
2	Sechskantmutter ¹⁾	Festigkeitsklasse gemäß EN ISO 3506-1:2009	50 für Ankerstangen der Klasse 50
			70 für Ankerstangen der Klasse 70
			80 für Ankerstangen der Klasse 80
3a	Unterlegscheibe, (z.B.: EN ISO 887:2006, EN ISO 7089:2000, EN ISO 7093:2000 oder EN ISO 7094:2000)	Werkstoff 1.4529 oder 1.4565, gemäß EN 10088-1: 2014	
3b	Verfüllscheibe		
4	Innengewindeankerstange ^{1) 2)}	Festigkeitsklasse gemäß EN ISO 3506-1:2009	50 $f_{\text{uk}}=500 \text{ N/mm}^2; f_{\text{yk}}=210 \text{ N/mm}^2; A_5 > 8\%$ Bruchdehnung
			70 $f_{\text{uk}}=700 \text{ N/mm}^2; f_{\text{yk}}=450 \text{ N/mm}^2; A_5 > 8\%$ Bruchdehnung
¹⁾ Festigkeitsklasse 70 für Ankerstangen bis M24 und Innengewindeankerstange bis IG-M16, ²⁾ für IG-M20 nur Festigkeitsklasse 50 ³⁾ $A_5 > 8\%$ Bruchdehnung wenn <u>keine</u> Anforderungen der seismischen Leistungskategorie C2 bestehen ⁴⁾ Festigkeitsklasse 80 nur für nichtrostenden Stahl A4 ⁵⁾ Verfüllscheibe nur aus nichtrostendem Stahl A4			
Apolo MEA Injektionssystem Resifix Pure Epoxi für Beton			Anhang A 4
Produktbeschreibung Werkstoffe Ankerstangen und Innengewindehülsen			

Betonstahl $\varnothing 8, \varnothing 10, \varnothing 12, \varnothing 14, \varnothing 16, \varnothing 20, \varnothing 25, \varnothing 28, \varnothing 32$



- Mindestwerte der bezogenen Rippenfläche $f_{R,min}$ gemäß EN 1992-1-1:2004+AC:2010
- Die Rippenhöhe muss $0,05d \leq h \leq 0,07d$ betragen (d: Nenndurchmesser des Stabes; h: Rippenhöhe des Stabes)

Tabelle A2: Werkstoffe

Teil	Benennung	Werkstoff
Betonstahl		
1	Betonstahl gemäß EN 1992-1-1:2004+AC:2010, Anhang C	Stäbe und Betonstabstahl vom Ring Klasse B oder C f_{yk} und k gemäß NDP oder NCL gemäß EN 1992-1-1/NA:2013 $f_{uk} = f_{tk} = k \cdot f_{yk}$

Apolo MEA Injektionssystem Resifix Pure Epoxi für Beton

Produktbeschreibung
Werkstoffe Betonstahl

Anhang A 5

Spezifizierung des Verwendungszwecks

Beanspruchung der Verankerung:

- Statische und quasi-statische Lasten: M8 bis M30, Betonstahl Ø8 bis Ø32, IG-M6 bis IG-M20.
- Seismische Einwirkung für Anforderungsstufe C1: M8 bis M30 (außer feuerverzinkte Gewindestangen), Betonstahl Ø8 bis Ø32.
- Seismische Einwirkung für Anforderungsstufe C2: M12 und M16 (außer feuerverzinkte Gewindestangen)

Verankerungsgrund:

- Bewehrter oder unbewehrter Normalbeton ohne Fasern gemäß EN 206:2013.
- Festigkeitsklasse C20/25 bis C50/60 gemäß EN 206:2013.
- Ungerissener Beton: M8 bis M30, Betonstahl Ø8 bis Ø32, IG-M6 bis IG-M20.
- Gerissener Beton: M8 bis M30, Betonstahl Ø8 bis Ø32, IG-M6 bis IG-M20.

Temperaturbereich:

- I: - 40 °C bis +40 °C (max. Langzeit-Temperatur +24 °C und max. Kurzzeit-Temperatur +40 °C)
- II: - 40 °C bis +60 °C (max. Langzeit-Temperatur +43 °C und max. Kurzzeit-Temperatur +60 °C)
- III: - 40 °C bis +72 °C (max. Langzeit-Temperatur +43 °C und max. Kurzzeit-Temperatur +72 °C)

Anwendungsbedingungen (Umweltbedingungen):

- Bauteile unter den Bedingungen trockener Innenräume (verzinktem Stahl, nichtrostendem Stahl A2 bzw. A4 oder hochkorrosionsbeständiger Stahl).
- Bauteile im Freien (einschließlich Industrielatmosphäre und Meeresnähe) und in Feuchträumen, wenn keine besonders aggressiven Bedingungen vorliegen (nichtrostendem Stahl A4 oder hochkorrosionsbeständiger Stahl).
- Bauteile im Freien und in Feuchträumen, wenn besonders aggressive Bedingungen vorliegen (hochkorrosionsbeständiger Stahl).

Anmerkung: Aggressive Bedingungen sind z.B. ständiges, abwechselndes Eintauchen in Seewasser oder der Bereich der Spritzzone von Seewasser, chlorhaltige Atmosphäre in Schwimmbadhallen oder Atmosphäre mit extremer chemischer Verschmutzung (z. B. bei Rauchgas-Entschwefelungsanlagen oder Straßentunneln, in denen Enteisungsmittel verwendet werden).

Bemessung:

- Unter Berücksichtigung der zu verankernden Lasten sind prüfbare Berechnungen und Konstruktionszeichnungen anzufertigen. Auf den Konstruktionszeichnungen ist die Lage des Dübels angegeben (z. B. Lage des Dübels zur Bewehrung oder zu den Auflagern usw.).
- Die Bemessung der Verankerungen erfolgt unter der Verantwortung eines auf dem Gebiet der Verankerungen und des Betonbaus erfahrenen Ingenieurs.
- Die Bemessung der Verankerungen unter statischen und quasi-statischen Lasten erfolgt nach:
 - FprEN 1992-4:2017 und Technical Report TR 055

Einbau:

- Trockener oder nasser Beton
- Wassergefüllte Bohrlöcher (nicht Seewasser)
- Bohrlochherstellung durch Hammer- (HD), Hohl- (HDB) oder Pressluftbohren (CD).
- Überkopfmontage erlaubt.
- Einbau durch entsprechend geschultes Personal unter der Aufsicht des Bauleiters.
- Die Schrauben oder Gewindestangen (inkl. Unterlegscheibe und Mutter), müssen mit dem Material und der Eigenschaften der Innengewindehülse übereinstimmen.

Apolo MEA Injektionssystem Resifix Pure Epoxi für Beton

Verwendungszweck
Spezifikationen

Anhang B 1

Tabelle B1: Montagekennwerte für Gewindestangen

Dübelgröße		M 8	M 10	M 12	M 16	M 20	M 24	M 27	M 30
Außendurchmesser des Ankers	d_{nom} [mm] =	8	10	12	16	20	24	27	30
Bohrernennendurchmesser	d_0 [mm] =	10	12	14	18	24	28	32	35
Effektive Verankerungstiefe	$h_{ef,min}$ [mm] =	60	60	70	80	90	96	108	120
	$h_{ef,max}$ [mm] =	96	120	144	192	240	288	324	360
Durchgangsloch im anzuschließenden Bauteil	d_f [mm] ≤	9	12	14	18	22	26	30	33
Maximales Montagedrehmoment	T_{inst} [Nm] ≤	10	20	40	80	120	160	180	200
Mindestbauteildicke	h_{min} [mm]	$h_{ef} + 30 \text{ mm}$ ≥ 100 mm			$h_{ef} + 2d_0$				
minimaler Achsabstand	s_{min} [mm]	40	50	60	80	100	120	135	150
minimaler Randabstand	c_{min} [mm]	40	50	60	80	100	120	135	150

Tabelle B2: Montagekennwerte für Betonstahl

Dübelgröße		Ø 8	Ø 10	Ø 12	Ø 14	Ø 16	Ø 20	Ø 25	Ø 28	Ø 32
Außendurchmesser des Ankers	d_{nom} [mm] =	8	10	12	14	16	20	25	28	32
Bohrernennendurchmesser	d_0 [mm] =	12	14	16	18	20	24	32	35	40
Effektive Verankerungstiefe	$h_{ef,min}$ [mm] =	60	60	70	75	80	90	100	112	128
	$h_{ef,max}$ [mm] =	96	120	144	168	192	240	300	336	384
Mindestbauteildicke	h_{min} [mm]	$h_{ef} + 30 \text{ mm}$ ≥ 100 mm			$h_{ef} + 2d_0$					
minimaler Achsabstand	s_{min} [mm]	40	50	60	70	80	100	125	140	160
minimaler Randabstand	c_{min} [mm]	40	50	60	70	80	100	125	140	160

Tabelle B3: Montagekennwerte für Innengewindeankerstange

Dübelgröße		IG-M 6	IG-M 8	IG-M 10	IG-M 12	IG-M 16	IG-M 20
Innendurchmesser des Ankers	d_2 [mm] =	6	8	10	12	16	20
Außendurchmesser des Ankers ¹⁾	d_{nom} [mm] =	10	12	16	20	24	30
Bohrernennendurchmesser	d_0 [mm] =	12	14	18	24	28	35
Effektive Verankerungstiefe	$h_{ef,min}$ [mm] =	60	70	80	90	96	120
	$h_{ef,max}$ [mm] =	120	144	192	240	288	360
Durchgangsloch im anzuschließenden Bauteil	d_f [mm] =	7	9	12	14	18	22
Maximales Montagedrehmoment	T_{inst} [Nm] ≤	10	10	20	40	60	100
Einschraublänge Min/max	l_{IG} [mm] =	8/20	8/20	10/20	12/30	16/40	20/50
Mindestbauteildicke	h_{min} [mm]	$h_{ef} + 30 \text{ mm}$ ≥ 100mm		$h_{ef} + 2d_0$			
minimaler Achsabstand	s_{min} [mm]	50	60	80	100	120	150
minimaler Randabstand	c_{min} [mm]	50	60	80	100	120	150

¹⁾ Mit metrischem Außengewinde gemäß EN 1993-1-8:2005+AC:2009

Apolo MEA Injektionssystem Resifix Pure Epoxi für Beton

Verwendungszweck
Montagekennwerte

Anhang B 2

Tabelle B4: Parameter für Reinigungs- und Setzzubehör

Gewindestangen (mm)	Betonstahl (mm)	Innengewindeankerstange (mm)	d_0 Bohrer - Ø HD, HDB, CD (mm)	d_b Bürsten - Ø (mm)		$d_{b,min}$ min. Bürsten - Ø (mm)	Verfüllstutzen	Installationsrichtung und Anwendung von Verfüllstutzen		
								↓	→	↑
M8			10	RBT10	12	10,5	-	-	-	-
M10	8	IG-M6	12	RBT12	14	12,5	-	-	-	-
M12	10	IG-M8	14	RBT14	16	14,5	-	-	-	-
	12		16	RBT16	18	16,5	-	-	-	-
M16	14	IG-M10	18	RBT18	20	18,5	VS18	$h_{ef} > 250$ mm	$h_{ef} > 250$ mm	all
	16		20	RBT20	22	20,5	VS20			
M20	20	IG-M12	24	RBT24	26	24,5	VS24			
M24		IG-M16	28	RBT28	30	28,5	VS28			
M27	25		32	RBT32	34	32,5	VS32			
M30	28	IG-M20	35	RBT35	37	35,5	VS35			
	32		40	RBT40	41,5	40,5	VS40			



MAC - Handpumpe (Volumen 750 ml)
Bohrerdurchmesser (d_0): 10 mm bis 20 mm
Bohrlochtiefe (h_0): $< 10 d_{nom}$
Nur im ungerissenen Beton



CAC - Empfohlene Druckluftpistole (min 6 bar)
Bohrerdurchmesser (d_0): alle Durchmesser



Verfüllstutzen VS
Bohrerdurchmesser (d_0): 18 mm bis 40 mm

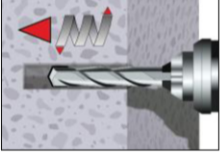
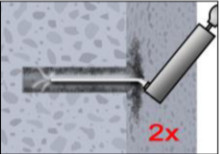
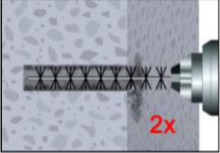
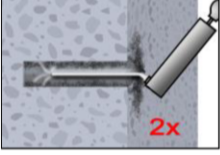
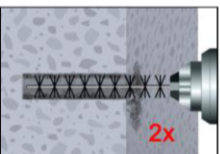


Stahlbürste RBT
Bohrerdurchmesser (d_0): alle Durchmesser

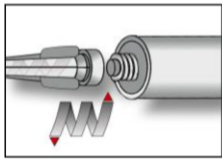
Apolo MEA Injektionssystem Resifix Pure Epoxi für Beton

Verwendungszweck
Reinigungs- und Installationszubehör

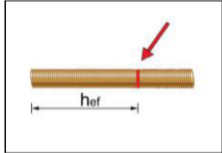
Anhang B 3

Setzanweisung	
Bohrloch erstellen	
	<p>1. Bohrloch drehschlagend mit vorgeschriebenem Bohrerdurchmesser (Tabelle B1, B2 oder B3) und gewählter Bohrlochtiefe mit Hammerbohrer (HD), Hohlbohrer (HDB) oder Druckluftbohrer (CD) erstellen. Der Hohlbohrer (HDB) ist nur in Verbindung mit einem geeigneten Staubsauger zu verwenden. Bei Fehlbohrungen ist das Bohrloch zu vermörteln.</p>
Achtung! Vor der Reinigung muss im Bohrloch stehendes Wasser entfernt werden.	
MAC: Reinigung für Bohrerdurchmesser $d_0 \leq 20\text{mm}$ und Bohrlochtiefe $h_0 \leq 10d_{\text{nom}}$ (nur ungerissene Beton!); alle Bohrarten	
	2a. Das Bohrloch vom Bohrlochgrund her 2x vollständig mit einer Handpumpe ¹⁾ (Anhang B 3) ausblasen.
	2b. Bürstendurchmesser prüfen (Tabelle B4). Bohrloch mit geeigneter Drahtbürste gem. Tabelle B4 (minimaler Bürstendurchmesser $d_{b,\text{min}}$ ist einzuhalten) 2x ausbürsten. Bei tiefen Bohrlöchern Bürstenverlängerung benutzen.
	2c. Abschließend das Bohrloch erneut vom Bohrlochgrund her 2x vollständig mit einer Handpumpe ¹⁾ (Anhang B 3) ausblasen.
<p>¹⁾ Bohrlöcher mit Durchmesser zwischen 14 mm und 20 mm und bis zu einer Setztiefe von $10d_{\text{nom}}$ dürfen auch in gerissenem Beton mit der Handpumpe ausgeblasen werden.</p>	
CAC: Reinigung für alle Bohrlochdurchmesser in gerissenem und ungerissenem Beton; alle Bohrarten	
	2a. Das Bohrloch vom Bohrlochgrund her 2x vollständig mit Druckluft (min. 6 bar) (Anhang B 3) ausblasen, bis die ausströmende Luft staubfrei ist. Bei tiefen Bohrlöchern sind Verlängerungen zu verwenden.
	2b. Bürstendurchmesser prüfen (Tabelle B4). Bohrloch mit geeigneter Drahtbürste gem. Tabelle B4 (minimaler Bürstendurchmesser $d_{b,\text{min}}$ ist einzuhalten) 2x ausbürsten. Bei tiefen Bohrlöchern geeignete Bürstenverlängerung benutzen.
	2c. Abschließend das Bohrloch erneut vom Bohrlochgrund her 2x vollständig mit Druckluft (min. 6 bar) (Anhang B 3) ausblasen, bis die ausströmende Luft staubfrei ist. Bei tiefen Bohrlöchern sind Verlängerungen zu verwenden.
Nach der Reinigung ist das Bohrloch bis zum Injizieren des Mörtels vor erneutem Verschmutzen in einer geeigneten Weise zu schützen. Ggf. ist die Reinigung unmittelbar vor dem Injizieren des Mörtels zu wiederholen. Einfließendes Wasser darf nicht zur erneuten Verschmutzung des Bohrloches führen.	
Apolo MEA Injektionssystem Resifix Pure Epoxi für Beton	
Verwendungszweck Setzanweisung	Anhang B 4

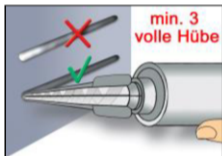
Setzanweisung (Fortsetzung)



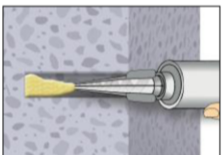
3. Den mitgelieferten Statikmischer fest auf die Kartusche aufschrauben und Kartusche in eine geeignete Auspresspistole einlegen. Bei jeder Arbeitsunterbrechung länger als die maximale Verarbeitungszeit (Tabelle B5) und bei jeder neuen Kartusche ist der Statikmischer zu erneuern.



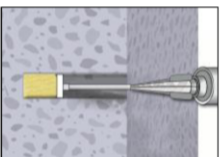
4. Vor dem Injizieren des Mörtels die geforderte Setztiefe auf der Ankerstange markieren.



5. Der Mörtelvorlauf ist nicht zur Befestigung der Ankerstange geeignet. Daher den Vorlauf solange verwerfen, bis sich eine gleichmäßig graue oder rote Mischfarbe eingestellt hat, jedoch min. 3 volle Hübe.

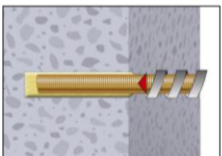


6. Gereinigtes Bohrloch vom Bohrlochgrund her ca. zu 2/3 mit Verbundmörtel befüllen. Langsames Zurückziehen des Statikmischers aus dem Bohrloch verhindert die Bildung von Lufteinschlüssen. Bei Verankerungstiefen größer 190 mm passende Mischerverlängerung verwenden. Die temperaturrelevanten Verarbeitungszeiten (Tabelle B5) sind zu beachten.

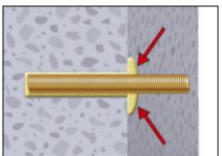


7. Verfüllstutzen und Mischerverlängerung sind gem. Tabelle B4 für die folgenden Anwendungen zu verwenden:

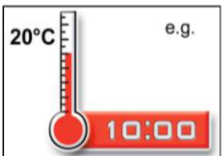
- Horizontalmontage (horizontal Richtung) und Bodenmontage (vertikal Richtung nach unten): Bohrer- \varnothing $d_0 \geq 18$ mm und Setztiefe $h_{ef} > 250$ mm
- Überkopfmontage (vertikale Richtung nach oben): Bohrer- \varnothing $d_0 \geq 18$ mm



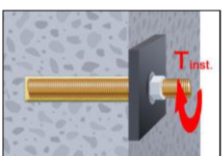
8. Befestigungselement mit leichten Drehbewegungen bis zur festgelegten Setztiefe einführen. Die Ankerstange muss schmutz-, fett-, und ölfrei sein.



9. Nach der Installation des Ankers muss der Ringspalt komplett mit Mörtel ausgefüllt sein. Tritt keine Masse nach Erreichen der Verankerungstiefe heraus, ist diese Voraussetzung nicht erfüllt und die Anwendung muss vor Beendigung der Verarbeitungszeit wiederholt werden. Bei Überkopfmontage ist die Ankerstange zu fixieren (z.B. Holzkeile).



10. Die angegebene Aushärtezeit muss eingehalten werden. Anker während der Aushärtezeit nicht bewegen oder belasten. (siehe Tabelle B5).



11. Nach vollständiger Aushärtung kann das Anbauteil mit bis zu dem maximalen Anzugsdrehmoment (Tabelle B1 oder B3) montiert werden. Die Mutter muss mit einem kalibriertem Drehmomentschlüssel festgezogen werden. Optional kann der Ringspalt zwischen Ankerstange und Anbauteil mit Mörtel verfüllt werden. Dafür Unterlegscheibe durch Verfüllscheibe ersetzen und Mischerrückführung auf den Mischer stecken. Der Ringspalt ist verfüllt, wenn Mörtel austritt.

Apolo MEA Injektionssystem Resifix Pure Epoxi für Beton

Verwendungszweck
Setzanweisung (Fortsetzung)

Anhang B 5

Tabelle B5: Mindest-Aushärtezeiten

Beton Temperatur	Verarbeitungszeit	Mindest-Aushärtezeit in trockenem Beton	Mindest-Aushärtezeit in feuchtem Beton
+ 5 °C bis + 9 °C	120 min	50 h	100 h
+ 10 °C bis + 19 °C	90 min	30 h	60 h
+ 20 °C bis + 29 °C	30 min	10 h	20 h
+ 30 °C bis + 39 °C	20 min	6 h	12 h
+ 40 °C	12 min	4 h	8 h
Kartuschentemperatur	+5°C bis +40°C		

Apolo MEA Injektionssystem Resifix Pure Epoxi für Beton

Verwendungszweck
Aushärtezeit

Anhang B 6

Tabelle C1: Charakteristische Werte der Stahlzugtragfähigkeit und Stahlquerzugtragfähigkeit von Gewindestangen

Größe			M 8	M 10	M 12	M 16	M 20	M 24	M 27	M 30	
Charakteristische Zugtragfähigkeit, Stahlversagen											
Stahl, Festigkeitsklasse 4.6 und 4.8	$N_{Rk,s}$	[kN]	15	23	34	63	98	141	184	224	
Stahl, Festigkeitsklasse 5.6 und 5.8	$N_{Rk,s}$	[kN]	18	29	42	78	122	176	230	280	
Stahl, Festigkeitsklasse 8.8	$N_{Rk,s}$	[kN]	29	46	67	125	196	282	368	449	
Nichtrostender Stahl A2, A4 und HCR, Festigkeitsklasse 50	$N_{Rk,s}$	[kN]	18	29	42	79	123	177	230	281	
Nichtrostender Stahl A2, A4 und HCR, Festigkeitsklasse 70	$N_{Rk,s}$	[kN]	26	41	59	110	171	247	-	-	
Nichtrostender Stahl A4 und HCR, Festigkeitsklasse 80	$N_{Rk,s}$	[kN]	29	46	67	126	196	282	-	-	
Charakteristische Zugtragfähigkeit, Teilsicherheitsbeiwert											
Stahl, Festigkeitsklasse 4.6	$\gamma_{Ms,N}^{1)}$	[-]						2,0			
Stahl, Festigkeitsklasse 4.8	$\gamma_{Ms,N}^{1)}$	[-]						1,5			
Stahl, Festigkeitsklasse 5.6	$\gamma_{Ms,N}^{1)}$	[-]						2,0			
Stahl, Festigkeitsklasse 5.8	$\gamma_{Ms,N}^{1)}$	[-]						1,5			
Stahl, Festigkeitsklasse 8.8	$\gamma_{Ms,N}^{1)}$	[-]						1,5			
Nichtrostender Stahl A2, A4 und HCR, Festigkeitsklasse 50	$\gamma_{Ms,N}^{1)}$	[-]						2,86			
Nichtrostender Stahl A2, A4 und HCR, Festigkeitsklasse 70	$\gamma_{Ms,N}^{1)}$	[-]						1,87			
Nichtrostender Stahl A4 und HCR, Festigkeitsklasse 80	$\gamma_{Ms,N}^{1)}$	[-]						1,6			
Charakteristische Quertragfähigkeit, Stahlversagen											
Ohne Hebelarm	Stahl, Festigkeitsklasse 4.6 und 4.8	$V_{Rk,s}^0$	[kN]	9	14	20	38	59	85	110	135
	Stahl, Festigkeitsklasse 5.6 und 5.8	$V_{Rk,s}^0$	[kN]	9	15	21	39	61	88	115	140
	Stahl, Festigkeitsklasse 8.8	$V_{Rk,s}^0$	[kN]	15	23	34	63	98	141	184	224
	Nichtrostender Stahl A2, A4 und HCR, Festigkeitsklasse 50	$V_{Rk,s}^0$	[kN]	9	15	21	39	61	88	115	140
	Nichtrostender Stahl A2, A4 und HCR, Festigkeitsklasse 70	$V_{Rk,s}^0$	[kN]	13	20	30	55	86	124	-	-
	Nichtrostender Stahl A4 und HCR, Festigkeitsklasse 80	$V_{Rk,s}^0$	[kN]	15	23	34	63	98	141	-	-
Mit Hebelarm	Stahl, Festigkeitsklasse 4.6 und 4.8	$M_{Rk,s}^0$	[Nm]	15	30	52	133	260	449	666	900
	Stahl, Festigkeitsklasse 5.6 und 5.8	$M_{Rk,s}^0$	[Nm]	19	37	65	166	324	560	833	1123
	Stahl, Festigkeitsklasse 8.8	$M_{Rk,s}^0$	[Nm]	30	60	105	266	519	896	1333	1797
	Nichtrostender Stahl A2, A4 und HCR, Festigkeitsklasse 50	$M_{Rk,s}^0$	[Nm]	19	37	66	167	325	561	832	1125
	Nichtrostender Stahl A2, A4 und HCR, Festigkeitsklasse 70	$M_{Rk,s}^0$	[Nm]	26	52	92	232	454	784	-	-
	Nichtrostender Stahl A4 und HCR, Festigkeitsklasse 80	$M_{Rk,s}^0$	[Nm]	30	59	105	266	519	896	-	-
Charakteristische Quertragfähigkeit, Teilsicherheitsbeiwert											
Stahl, Festigkeitsklasse 4.6	$\gamma_{Ms,V}^{1)}$	[-]						1,67			
Stahl, Festigkeitsklasse 4.8	$\gamma_{Ms,V}^{1)}$	[-]						1,25			
Stahl, Festigkeitsklasse 5.6	$\gamma_{Ms,V}^{1)}$	[-]						1,67			
Stahl, Festigkeitsklasse 5.8	$\gamma_{Ms,V}^{1)}$	[-]						1,25			
Stahl, Festigkeitsklasse 8.8	$\gamma_{Ms,V}^{1)}$	[-]						1,25			
Nichtrostender Stahl A2, A4 und HCR, Festigkeitsklasse 50	$\gamma_{Ms,V}^{1)}$	[-]						2,38			
Nichtrostender Stahl A2, A4 und HCR, Festigkeitsklasse 70	$\gamma_{Ms,V}^{1)}$	[-]						1,56			
Nichtrostender Stahl A4 und HCR, Festigkeitsklasse 80	$\gamma_{Ms,V}^{1)}$	[-]						1,33			

¹⁾ Sofern andere nationalen Regelungen fehlen

Apolo MEA Injektionssystem Resifix Pure Epoxi für Beton

Leistungen

Charakteristische Werte der Stahlzugtragfähigkeit und Stahlquerzugtragfähigkeit von Gewindestangen

Anhang C 1

Tabelle C2: Charakteristische Werte der Zugtragfähigkeit unter statischer, quasi-statischer Belastung und Erdbebenbelastung (Leistungskategorie C1 und C2)

Dübelgröße Gewindestangen			M 8	M 10	M 12	M 16	M 20	M 24	M 27	M 30	
Stahlgewindestangen											
Charakteristische Zugtragfähigkeit	$N_{Rk,s}$	[kN]	siehe Tabelle C1								
	$N_{Rk,s,eq,C1}$	[kN]	$1,0 \cdot N_{Rk,s}$								
	$N_{Rk,s,eq,C2}$	[kN]	NPD	$1,0 \cdot N_{Rk,s}$				NPD			
Teilsicherheitsbeiwert	$\gamma_{Ms,N}$	[-]	siehe Tabelle C1								
Kombiniertes Versagen durch Herausziehen und Betonausbruch											
Charakteristische Verbundtragfähigkeit im ungerissenen Beton C20/25											
Temperaturbereich I: 40°C/24°C	trockener und feuchter Beton	$\tau_{Rk,ucr}$	[N/mm ²]	15	15	15	14	13	12	12	12
	wassergefülltes Bohrloch	$\tau_{Rk,ucr}$	[N/mm ²]	15	14	13	10	9,5	8,5	7,5	7,0
Temperaturbereich II: 60°C/43°C	trockener und feuchter Beton	$\tau_{Rk,ucr}$	[N/mm ²]	9,5	9,5	9,0	8,5	8,0	7,5	7,5	7,5
	wassergefülltes Bohrloch	$\tau_{Rk,ucr}$	[N/mm ²]	9,5	9,5	9,0	8,5	7,5	7,0	6,5	6,0
Temperaturbereich III: 72°C/43°C	trockener und feuchter Beton	$\tau_{Rk,ucr}$	[N/mm ²]	8,5	8,5	8,0	7,5	7,0	7,0	6,5	6,5
	wassergefülltes Bohrloch	$\tau_{Rk,ucr}$	[N/mm ²]	8,5	8,5	8,0	7,5	7,0	6,0	5,5	5,5
Charakteristische Verbundtragfähigkeit im gerissenen Beton C20/25											
Temperaturbereich I: 40°C/24°C	trockener und feuchter Beton	$\tau_{Rk,cr}$	[N/mm ²]	7,0	7,0	7,5	6,5	6,0	5,5	5,5	5,5
		$\tau_{Rk,eq,C1}$	[N/mm ²]	5,9	7,0	7,1	6,2	5,7	5,5	5,5	5,5
		$\tau_{Rk,eq,C2}$	[N/mm ²]	NPD		2,4	2,2	Keine Leistung bestimmt (NPD)			
	wassergefülltes Bohrloch	$\tau_{Rk,cr}$	[N/mm ²]	7,0	7,0	7,5	6,0	5,0	4,5	4,0	4,0
		$\tau_{Rk,eq,C1}$	[N/mm ²]	5,9	7,0	7,1	5,8	4,8	4,5	4,0	4,0
		$\tau_{Rk,eq,C2}$	[N/mm ²]	NPD		2,4	2,1	Keine Leistung bestimmt (NPD)			
Temperaturbereich II: 60°C/43°C	trockener und feuchter Beton	$\tau_{Rk,cr}$	[N/mm ²]	4,5	4,5	4,5	4,0	3,5	3,5	3,5	3,5
		$\tau_{Rk,eq,C1}$	[N/mm ²]	3,7	4,5	4,3	3,8	3,4	3,5	3,5	3,5
		$\tau_{Rk,eq,C2}$	[N/mm ²]	NPD		1,4	1,4	Keine Leistung bestimmt (NPD)			
	wassergefülltes Bohrloch	$\tau_{Rk,cr}$	[N/mm ²]	4,5	4,5	4,5	4,0	3,5	3,5	3,5	3,5
		$\tau_{Rk,eq,C1}$	[N/mm ²]	3,7	4,5	4,3	3,8	3,4	3,5	3,5	3,5
		$\tau_{Rk,eq,C2}$	[N/mm ²]	NPD		1,4	1,4	Keine Leistung bestimmt (NPD)			
Temperaturbereich III: 72°C/43°C	trockener und feuchter Beton	$\tau_{Rk,cr}$	[N/mm ²]	4,0	4,0	4,0	3,5	3,0	3,0	3,0	3,0
		$\tau_{Rk,eq,C1}$	[N/mm ²]	3,2	4,0	3,9	3,4	3,0	3,0	3,0	3,0
		$\tau_{Rk,eq,C2}$	[N/mm ²]	NPD		1,3	1,2	Keine Leistung bestimmt (NPD)			
	wassergefülltes Bohrloch	$\tau_{Rk,cr}$	[N/mm ²]	4,0	4,0	4,0	3,5	3,0	3,0	3,0	3,0
		$\tau_{Rk,eq,C1}$	[N/mm ²]	3,2	4,0	3,9	3,4	3,0	3,0	3,0	3,0
		$\tau_{Rk,eq,C2}$	[N/mm ²]	NPD		1,3	1,2	Keine Leistung bestimmt (NPD)			
Erhöhungsfaktor für Beton (Nur statische oder quasi-statische Beanspruchung) ψ_c	C25/30		1,02								
	C30/37		1,04								
	C35/45		1,07								
	C40/50		1,08								
	C45/55		1,09								
	C50/60		1,10								
Betonausbruch											
ungerissener Beton	$k_{ucr,N}$	[-]	11,0								
gerissener Beton	$k_{cr,N}$	[-]	7,7								
Randabstand	$c_{cr,N}$	[mm]	$1,5 h_{ef}$								
Achsabstand	$s_{cr,N}$	[mm]	$2 c_{cr,N}$								
Spalten											
Randabstand	$h/h_{ef} \geq 2,0$	$c_{cr,sp}$	[mm]	$1,0 h_{ef}$							
	$2,0 > h/h_{ef} > 1,3$			$2 \cdot h_{ef} \left(2,5 - \frac{h}{h_{ef}} \right)$							
	$h/h_{ef} \leq 1,3$			$2,4 h_{ef}$							
Achsabstand	$s_{cr,sp}$	[mm]	$2 c_{cr,sp}$								
Montagebeiwert (trockener und feuchter Beton)	γ_{inst}	[-]	1,2				1,4				
Montagebeiwert (wassergefülltes Bohrloch)	γ_{inst}	[-]	1,4								
Apolo MEA Injektionssystem Resifix Pure Epoxi für Beton											
Leistungen Charakteristische Werte der Zugtragfähigkeit unter statischer, quasi-statischer Belastung und Erdbebenbelastung (Leistungskategorie C1 und C2)										Anhang C 2	

Tabelle C3: Charakteristische Werte der Querkzugtragfähigkeit unter statischer, quasi-statischer Belastung und Erdbebenbelastung (Leistungskategorie C1 und C2)

Dübelgröße Gewindestangen		M 8	M 10	M 12	M 16	M 20	M24	M 27	M 30	
Stahlversagen ohne Hebelarm										
Charakteristische Querkzugtragfähigkeit	$V_{RK,s}^0$	[kN]	siehe Tabelle C1							
	$V_{RK,s,eq,C1}$	[kN]	$0,86 \cdot V_{RK,s}^0$	$0,88 \cdot V_{RK,s}^0$			$0,80 \cdot V_{RK,s}^0$			
	$V_{RK,s,eq,C2}$	[kN]	NPD	$0,80 \cdot V_{RK,s}^0$		Keine Leistung bestimmt (NPD)				
Teilsicherheitsbeiwert	$\gamma_{Ms,V}$	[-]	siehe Tabelle C1							
Duktilitätsfaktor	k_7	[-]	1,0							
Stahlversagen mit Hebelarm										
Charakteristisches Biegemoment	$M_{RK,s}^0$	[Nm]	siehe Tabelle C1							
	$M_{RK,s,eq,C1}^0$	[Nm]	Keine Leistung bestimmt (NPD)							
	$M_{RK,s,eq,C2}^0$	[Nm]	Keine Leistung bestimmt (NPD)							
Teilsicherheitsbeiwert	$\gamma_{Ms,V}$	[-]	siehe Tabelle C1							
Betonausbruch auf der lastabgewandten Seite										
Faktor	k_8	[-]	2,0							
Montagebeiwert	γ_{inst}	[-]	1,0							
Betonkantenbruch										
Effektive Dübellänge	l_f	[mm]	$l_f = \min(h_{ef}; 8 d_{nom})$							
Außendurchmesser des Dübels	d_{nom}	[mm]	8	10	12	16	20	24	27	30
Montagebeiwert	γ_{inst}	[-]	1,0							
Faktor für Ringspalt	α_{gap}	[-]	0,5 (1,0) ¹⁾							

¹⁾ Wert in der Klammer ist für gefüllte Ringspalte zwischen der Ankerstange und dem Durchgangsloch im Anbauteil gültig. Die Verwendung der Verfüllscheibe gemäß Anhang A 3 ist notwendig.

Apolo MEA Injektionssystem Resifix Pure Epoxi für Beton

Leistungen

Charakteristische Werte der Querkzugtragfähigkeit unter statischer, quasi-statischer Belastung und Erdbebenbelastung (Leistungskategorie C1 und C2)

Anhang C 3

Tabelle C4: Charakteristische Werte der Zugtragfähigkeit unter statischer und quasi-statischer Belastung

Dübelgröße Innengewindeankerstange			IG-M 6	IG-M 8	IG-M 10	IG-M 12	IG-M 16	IG-M 20	
Stahlversagen¹⁾									
Charakteristische Zugtragfähigkeit, Stahl, Festigkeitsklasse 5.8	$N_{Rk,s}$	[kN]	10	17	29	42	76	123	
Teilsicherheitsbeiwert	$\gamma_{Ms,N}$	[-]	1,5						
Charakteristische Zugtragfähigkeit, Stahl, Festigkeitsklasse 8.8	$N_{Rk,s}$	[kN]	16	27	46	67	121	196	
Teilsicherheitsbeiwert	$\gamma_{Ms,N}$	[-]	1,5						
Charakteristische Zugtragfähigkeit, Nichtrostender Stahl A4 Festigkeitsklasse 70 ²⁾	$N_{Rk,s}$	[kN]	14	26	41	59	110	124	
Teilsicherheitsbeiwert	$\gamma_{Ms,N}$	[-]	1,87					2,86	
Kombiniertes Versagen durch Herausziehen und Betonausbruch									
Charakteristische Verbundtragfähigkeit im ungerissenen Beton C20/25									
Temperaturbereich I: 40°C/24°C	trockener und feuchter Beton	$\tau_{Rk,ucr}$	[N/mm ²]	15	15	14	13	12	12
	wassergefülltes Bohrloch			14	13	10	9,5	8,5	7,0
Temperaturbereich II: 60°C/43°C	trockener und feuchter Beton	$\tau_{Rk,ucr}$	[N/mm ²]	9,5	9,0	8,5	8,0	7,5	7,5
	wassergefülltes Bohrloch			9,5	9,0	8,5	7,5	7,0	6,0
Temperaturbereich III: 72°C/43°C	trockener und feuchter Beton	$\tau_{Rk,ucr}$	[N/mm ²]	8,5	8,0	7,5	7,0	7,0	6,5
	wassergefülltes Bohrloch			8,5	8,0	7,5	7,0	6,0	5,5
Charakteristische Verbundtragfähigkeit im gerissenen Beton C20/25									
Temperaturbereich I: 40°C/24°C	trockener und feuchter Beton	$\tau_{Rk,cr}$	[N/mm ²]	7,0	7,5	6,5	6,0	5,5	5,5
	wassergefülltes Bohrloch			7,0	7,5	6,0	5,0	4,5	4,0
Temperaturbereich II: 60°C/43°C	trockener und feuchter Beton	$\tau_{Rk,cr}$	[N/mm ²]	4,5	4,5	4,0	3,5	3,5	3,5
	wassergefülltes Bohrloch			4,5	4,5	4,0	3,5	3,5	3,5
Temperaturbereich III: 72°C/43°C	trockener und feuchter Beton	$\tau_{Rk,cr}$	[N/mm ²]	4,0	4,0	3,5	3,0	3,0	3,0
	wassergefülltes Bohrloch			4,0	4,0	3,5	3,0	3,0	3,0
Erhöhungsfaktor für Beton ψ_c	C25/30			1,02					
	C30/37			1,04					
	C35/45			1,07					
	C40/50			1,08					
	C45/55			1,09					
C50/60			1,10						
Betonausbruch									
ungerissener Beton	$k_{ucr,N}$	[-]	11,0						
gerissener Beton	$k_{cr,N}$	[-]	7,7						
Randabstand	$c_{cr,N}$	[mm]	1,5 h_{ef}						
Achsabstand	$s_{cr,N}$	[mm]	2 $c_{cr,N}$						
Spalten									
Randabstand	$h/h_{ef} \geq 2,0$	$c_{cr,sp}$	[mm]	1,0 h_{ef}					
	$2,0 > h/h_{ef} > 1,3$			$2 \cdot h_{ef} \left(2,5 - \frac{h}{h_{ef}} \right)$					
	$h/h_{ef} \leq 1,3$			2,4 h_{ef}					
Achsabstand	$s_{cr,sp}$	[mm]	2 $c_{cr,sp}$						
Montagebeiwert (trockener und feuchter Beton)	γ_{inst}	[-]	1,2			1,4			
Montagebeiwert (wassergefülltes Bohrloch)	γ_{inst}	[-]	1,4						
¹⁾ Befestigungsschrauben oder Gewindestangen (inkl. Scheibe und Mutter) müssen mindestens der gewählten Festigkeitsklasse der Innengewindehülsen entsprechen. Die charakteristischen Tragfähigkeiten für Stahlversagen der angegebenen Festigkeitsklasse gelten für die Innengewindeankerstange und die zugehörigen Befestigungsmittel. ²⁾ Für IG-M20 gilt Festigkeitsklasse 50									

Apolo MEA Injektionssystem Resifix Pure Epoxi für Beton

Leistungen

Charakteristische Werte der Zugtragfähigkeit unter statischer und quasi-statischer Belastung

Anhang C 4

Tabelle C5: Charakteristische Werte der Querkzugtragfähigkeit unter statischer und quasi-statischer Belastung

Dübelgröße Innengewindeankerstange			IG-M 6	IG-M 8	IG-M 10	IG-M 12	IG-M 16	IG-M 20
Stahlversagen ohne Hebelarm¹⁾								
Charakteristische Querkzugtragfähigkeit, Stahl, Festigkeitsklasse 5.8	$V_{Rk,s}^0$	[kN]	5	9	15	21	38	61
Teilsicherheitsbeiwert	$\gamma_{Ms,V}$	[-]	1,25					
Charakteristische Querkzugtragfähigkeit, Stahl, Festigkeitsklasse 8.8	$V_{Rk,s}^0$	[kN]	8	14	23	34	60	98
Teilsicherheitsbeiwert	$\gamma_{Ms,V}$	[-]	1,25					
Charakteristische Querkzugtragfähigkeit, Nichtrostender Stahl A4 Festigkeitsklasse 70 ²⁾	$V_{Rk,s}^0$	[kN]	7	13	20	30	55	40
Teilsicherheitsbeiwert	$\gamma_{Ms,V}$	[-]	1,56					
Duktilitätsfaktor	k_7	[-]	1,0					
Stahlversagen mit Hebelarm¹⁾								
Charakteristische Biegemoment, Stahl, Festigkeitsklasse 5.8	$M_{Rk,s}^0$	[Nm]	8	19	37	66	167	325
Teilsicherheitsbeiwert	$\gamma_{Ms,V}$	[-]	1,25					
Charakteristische Biegemoment, Stahl, Festigkeitsklasse 8.8	$M_{Rk,s}^0$	[Nm]	12	30	60	105	267	519
Teilsicherheitsbeiwert	$\gamma_{Ms,V}$	[-]	1,25					
Charakteristische Biegemoment, Nichtrostender Stahl A4 Festigkeitsklasse 70 ²⁾	$M_{Rk,s}^0$	[Nm]	11	26	52	92	233	456
Teilsicherheitsbeiwert	$\gamma_{Ms,V}$	[-]	1,56					
Betonausbruch auf der lastabgewandten Seite								
Faktor	k_8	[-]	2,0					
Montagebeiwert	γ_{inst}	[-]	1,0					
Betonkantenbruch								
Effektive Dübellänge	l_f	[mm]	$l_f = \min(h_{ef}; 8 d_{nom})$					
Außendurchmesser des Dübels	d_{nom}	[mm]	10	12	16	20	24	30
Montagebeiwert	γ_{inst}	[-]	1,0					
³⁾ Befestigungsschrauben oder Gewindestangen (inkl. Scheibe und Mutter) müssen mindestens der gewählten Festigkeitsklasse der Innengewindehülsen entsprechen. Die charakteristischen Tragfähigkeiten für Stahlversagen der angegebenen Festigkeitsklasse gelten für die Innengewindeankerstange und die zugehörigen Befestigungsmittel. ⁴⁾ Für IG-M20 gilt Festigkeitsklasse 50								
Apolo MEA Injektionssystem Resifix Pure Epoxi für Beton							Anhang C 5	
Leistungen Charakteristische Werte der Querkzugtragfähigkeit unter statischer und quasi-statischer Belastung								

Tabelle C6: Charakteristische Werte der Zugtragfähigkeit unter statischer, quasi-statischer Belastung und Erdbebenbelastung (Leistungskategorie C1)

Dübelgröße Betonstahl			Ø 8	Ø 10	Ø 12	Ø 14	Ø 16	Ø 20	Ø 25	Ø 28	Ø 32	
Stahlversagen												
Charakteristische Zugtragfähigkeit	$N_{Rk,s}$	[kN]	$A_s \cdot f_{uk}^{1)}$									
	$N_{Rk,eq,C1}$	[kN]	$1,0 \cdot A_s \cdot f_{uk}^{1)}$									
Stahlspannungsquerschnitt	A_s	[mm ²]	50	79	113	154	201	314	491	616	804	
Teilsicherheitsbeiwert	$\gamma_{Ms,N}$	[-]	1,4 ²⁾									
Kombiniertes Versagen durch Herausziehen und Betonausbruch												
Charakteristische Verbundtragfähigkeit im ungerissenen Beton C20/25												
Temperaturbereich I: 40°C/24°C	trockener und feuchter Beton	$\tau_{Rk,ucr}$	[N/mm ²]	14	14	13	13	12	12	11	11	11
	wassergefülltes Bohrloch	$\tau_{Rk,ucr}$	[N/mm ²]	14	13	11	10	9,5	8,5	7,5	7,0	6,0
Temperaturbereich II: 60°C/43°C	trockener und feuchter Beton	$\tau_{Rk,ucr}$	[N/mm ²]	8,5	8,5	8,0	8,0	7,5	7,0	7,0	6,5	6,5
	wassergefülltes Bohrloch	$\tau_{Rk,ucr}$	[N/mm ²]	8,5	8,5	8,0	8,0	7,5	7,0	6,0	5,5	5,0
Temperaturbereich III: 72°C/43°C	trockener und feuchter Beton	$\tau_{Rk,ucr}$	[N/mm ²]	7,5	7,5	7,5	7,0	7,0	6,5	6,0	6,0	6,0
	wassergefülltes Bohrloch	$\tau_{Rk,ucr}$	[N/mm ²]	7,5	7,5	7,5	7,0	7,0	6,0	5,5	5,0	4,5
Charakteristische Verbundtragfähigkeit im gerissenen Beton C20/25												
Temperaturbereich I: 40°C/24°C	trockener und feuchter Beton	$\tau_{Rk,cr}$	[N/mm ²]	7,0	7,0	7,5	7,0	6,5	6,0	5,5	5,5	5,5
		$\tau_{Rk,eq,C1}$	[N/mm ²]	5,9	7,0	7,1	6,4	6,2	5,7	5,5	5,5	5,5
	wassergefülltes Bohrloch	$\tau_{Rk,cr}$	[N/mm ²]	7,0	7,0	7,5	6,5	6,0	5,0	4,5	4,0	4,0
		$\tau_{Rk,eq,C1}$	[N/mm ²]	5,9	7,0	7,1	6,0	5,7	4,8	4,5	4,0	4,0
Temperaturbereich II: 60°C/43°C	trockener und feuchter Beton	$\tau_{Rk,cr}$	[N/mm ²]	4,5	4,5	4,5	4,0	4,0	3,5	3,5	3,5	3,5
		$\tau_{Rk,eq,C1}$	[N/mm ²]	3,7	4,5	4,3	3,7	3,8	3,3	3,5	3,5	3,5
	wassergefülltes Bohrloch	$\tau_{Rk,cr}$	[N/mm ²]	4,5	4,5	4,5	4,0	4,0	3,5	3,5	3,5	3,0
		$\tau_{Rk,eq,C1}$	[N/mm ²]	3,7	4,5	4,3	3,7	3,8	3,3	3,5	3,5	3,0
Temperaturbereich III: 72°C/43°C	trockener und feuchter Beton	$\tau_{Rk,cr}$	[N/mm ²]	4,0	4,0	4,0	3,5	3,5	3,0	3,0	3,0	3,0
		$\tau_{Rk,eq,C1}$	[N/mm ²]	3,2	4,0	3,9	3,2	3,3	2,9	3,0	3,0	3,0
	wassergefülltes Bohrloch	$\tau_{Rk,cr}$	[N/mm ²]	4,0	4,0	4,0	3,5	3,5	3,0	3,0	3,0	3,0
		$\tau_{Rk,eq,C1}$	[N/mm ²]	3,2	4,0	3,9	3,2	3,3	2,9	3,0	3,0	3,0
Erhöhungsfaktor für Beton (Nur statische oder quasi-statische Beanspruchung) ψ_c	C25/30			1,02								
	C30/37			1,04								
	C35/45			1,07								
	C40/50			1,08								
	C45/55			1,09								
C50/60			1,10									
Betonausbruch												
ungerissener Beton	$k_{ucr,N}$	[-]	11,0									
gerissener Beton	$k_{cr,N}$	[-]	7,7									
Randabstand	$c_{cr,N}$	[mm]	1,5 h_{ef}									
Achsabstand	$s_{cr,N}$	[mm]	2 $c_{cr,N}$									
Spalten												
Randabstand	$h/h_{ef} \geq 2,0$	$c_{cr,sp}$	[mm]	1,0 h_{ef}								
	$2,0 > h/h_{ef} > 1,3$			$2 \cdot h_{ef} \left(2,5 - \frac{h}{h_{ef}} \right)$								
	$h/h_{ef} \leq 1,3$			2,4 h_{ef}								
Achsabstand	$s_{cr,sp}$	[mm]	2 $c_{cr,sp}$									
Montagebeiwert (trockener und feuchter Beton)	γ_{inst}	[-]	1,2					1,4				
Montagebeiwert (wassergefülltes Bohrloch)	γ_{inst}	[-]	1,4									
¹⁾ f_{uk} ist den Spezifikationen des Betonstahls zu entnehmen ²⁾ Sofern andere nationalen Regelungen fehlen												

Apolo MEA Injektionssystem Resifix Pure Epoxi für Beton

Leistungen

Charakteristische Werte der Zugtragfähigkeit unter statischer, quasi-statischer Belastung und Erdbebenbelastung (Leistungskategorie C1)

Anhang C 6

Tabelle C7: Charakteristische Werte der Querkzugtragfähigkeit unter statischer, quasi-statischer Belastung und Erdbebenbelastung (Leistungskategorie C1)

Dübelgröße Betonstahl			Ø 8	Ø 10	Ø 12	Ø 14	Ø 16	Ø 20	Ø 25	Ø 28	Ø 32
Stahlversagen ohne Hebelarm											
Charakteristische Querkzugtragfähigkeit	$V_{RK,s}^0$	[kN]	$0,50 \cdot A_s \cdot f_{uk}^{1)}$								
	$V_{RK,eq,C1}$	[kN]	$0,40 \cdot A_s \cdot f_{uk}^{1)}$			$0,44 \cdot A_s \cdot f_{uk}^{1)}$					
Stahlspannungsquerschnitt	A_s	[mm ²]	50	79	113	154	201	214	491	616	804
Teilsicherheitsbeiwert	$\gamma_{Ms,V}$	[-]	1,5 ²⁾								
Duktilitätsfaktor	k_7	[-]	1,0								
Stahlversagen mit Hebelarm											
Charakteristische Biegemoment	$M_{RK,s}^0$	[Nm]	$1,2 \cdot W_{el} \cdot f_{uk}^{1)}$								
	$M_{RK,eq,C1}^0$	[Nm]	Keine Leistung bestimmt (NPD)								
Elastisches Widerstandsmoment	W_{el}	[mm ³]	50	98	170	269	402	785	1534	2155	3217
Teilsicherheitsbeiwert	$\gamma_{Ms,V}$	[-]	1,5 ²⁾								
Betonausbruch auf der lastabgewandten Seite											
Faktor	k_B	[-]	2,0								
Montagebeiwert	γ_{inst}	[-]	1,0								
Betonkantenbruch											
Effektive Dübellänge	l_f	[mm]	$l_f = \min(h_{ef}; 8 d_{nom})$								
Außendurchmesser des Dübels	d_{nom}	[mm]	8	10	12	14	16	20	25	28	32
Montagebeiwert	γ_{inst}	[-]	1,0								
Faktor für Ringspalt	α_{gap}	[-]	0,5 (1,0) ³⁾								
¹⁾ f_{uk} ist den Spezifikationen des Betonstahls zu entnehmen ²⁾ Sofern andere nationalen Regelungen fehlen ³⁾ Wert in der Klammer ist für gefüllte Ringspalte zwischen der Ankerstange und dem Durchgangsloch im Anbauteil gültig. Die Verwendung der Verfüllscheibe gemäß Anhang A 3 ist notwendig.											
Apolo MEA Injektionssystem Resifix Pure Epoxi für Beton										Anhang C 7	
Leistungen Charakteristische Werte der Querkzugtragfähigkeit unter statischer, quasi-statischer Belastung und Erdbebenbelastung (Leistungskategorie C1)											

Tabelle C8: Verschiebung unter Zugbeanspruchung¹⁾ (Ankerstange)										
Dübelgröße Gewindestangen			M 8	M 10	M 12	M 16	M 20	M24	M 27	M 30
Ungerissener Beton C20/25 unter statischer, quasi-statischer Einwirkung										
Temperaturbereich I: 40°C/24°C	δ_{N0} -Faktor	[mm/(N/mm ²)]	0,011	0,013	0,015	0,020	0,024	0,029	0,032	0,035
	$\delta_{N_{\infty}}$ -Faktor	[mm/(N/mm ²)]	0,044	0,052	0,061	0,079	0,096	0,114	0,127	0,140
Temperaturbereich II: 60°C/43°C	δ_{N0} -Faktor	[mm/(N/mm ²)]	0,013	0,015	0,018	0,023	0,028	0,033	0,037	0,043
	$\delta_{N_{\infty}}$ -Faktor	[mm/(N/mm ²)]	0,050	0,060	0,070	0,091	0,111	0,131	0,146	0,161
Temperaturbereich III: 72°C/43°C	δ_{N0} -Faktor	[mm/(N/mm ²)]	0,013	0,015	0,018	0,023	0,028	0,033	0,037	0,043
	$\delta_{N_{\infty}}$ -Faktor	[mm/(N/mm ²)]	0,050	0,060	0,070	0,091	0,111	0,131	0,146	0,161
Gerissener Beton C20/25 unter statischer, quasi-statischer und seismischer Einwirkung C1										
Temperaturbereich I: 40°C/24°C	δ_{N0} -Faktor	[mm/(N/mm ²)]	0,032	0,032	0,032	0,037	0,042	0,048	0,053	0,058
	$\delta_{N_{\infty}}$ -Faktor	[mm/(N/mm ²)]	0,210	0,210	0,210	0,210	0,210	0,210	0,210	0,210
Temperaturbereich II: 60°C/43°C	δ_{N0} -Faktor	[mm/(N/mm ²)]	0,032	0,032	0,037	0,043	0,049	0,055	0,061	0,067
	$\delta_{N_{\infty}}$ -Faktor	[mm/(N/mm ²)]	0,240	0,240	0,240	0,240	0,240	0,240	0,240	0,240
Temperaturbereich III: 72°C/43°C	δ_{N0} -Faktor	[mm/(N/mm ²)]	0,032	0,032	0,037	0,043	0,049	0,055	0,061	0,067
	$\delta_{N_{\infty}}$ -Faktor	[mm/(N/mm ²)]	0,240	0,240	0,240	0,240	0,240	0,240	0,240	0,240
Gerissener Beton C20/25 unter seismischer Einwirkung C2										
Temperaturbereich I: 40°C/24°C	$\delta_{N,eq(DLS)}$ -Faktor	[mm/(N/mm ²)]	Keine Leistung bestimmt (NPD)			0,03	0,05	Keine Leistung bestimmt (NPD)		
	$\delta_{N,eq(ULS)}$ -Faktor	[mm/(N/mm ²)]				0,06	0,09			
Temperaturbereich II: 60°C/43°C	$\delta_{N,eq(DLS)}$ -Faktor	[mm/(N/mm ²)]				0,03	0,05			
	$\delta_{N,eq(ULS)}$ -Faktor	[mm/(N/mm ²)]				0,06	0,09			
Temperaturbereich III: 72°C/43°C	$\delta_{N,eq(DLS)}$ -Faktor	[mm/(N/mm ²)]				0,03	0,05			
	$\delta_{N,eq(ULS)}$ -Faktor	[mm/(N/mm ²)]				0,06	0,09			
¹⁾ Berechnung der Verschiebung $\delta_{N0} = \delta_{N0}\text{-Faktor} \cdot \tau$; $\delta_{N,eq(DLS)} = \delta_{N,eq(DLS)\text{-Faktor}} \cdot \tau$; τ : einwirkende Verbundspannung unter Zugbelastung $\delta_{N_{\infty}} = \delta_{N_{\infty}}\text{-Faktor} \cdot \tau$; $\delta_{N,eq(ULS)} = \delta_{N,eq(ULS)\text{-Faktor}} \cdot \tau$;										
Tabelle C9: Verschiebung unter Querbeanspruchung¹⁾ (Ankerstange)										
Dübelgröße Gewindestangen			M 8	M 10	M 12	M 16	M 20	M24	M 27	M 30
Beton C20/25 unter statischer, quasi-statischer und seismischer Einwirkung C1										
Alle Temperaturbereiche	δ_{V0} -Faktor	[mm/(kN)]	0,06	0,06	0,05	0,04	0,04	0,03	0,03	0,03
	$\delta_{V_{\infty}}$ -Faktor	[mm/(kN)]	0,09	0,08	0,08	0,06	0,06	0,05	0,05	0,05
Gerissener Beton C20/25 unter seismischer Einwirkung C2										
Alle Temperaturbereiche	$\delta_{V,eq(DLS)}$ -Faktor	[mm/(kN)]	Keine Leistung bestimmt (NPD)			0,2	0,1	Keine Leistung bestimmt (NPD)		
	$\delta_{V,eq(ULS)}$ -Faktor	[mm/(kN)]				0,2	0,1			
¹⁾ Berechnung der Verschiebung $v_0 = \delta_{V0}\text{-Faktor} \cdot V$; $\delta_{V,eq(DLS)} = \delta_{V,eq(DLS)\text{-Faktor}} \cdot V$; V : einwirkende Querlast $\delta_{V_{\infty}} = \delta_{V_{\infty}}\text{-Faktor} \cdot V$; $\delta_{V,eq(ULS)} = \delta_{V,eq(ULS)\text{-Faktor}} \cdot V$;										
Apolo MEA Injektionssystem Resifix Pure Epoxi für Beton									Anhang C 8	
Leistungen Verschiebungen (Ankerstange)										

Tabelle C10: Verschiebung unter Zugbeanspruchung¹⁾ (Innengewindeankerstange)

Dübelgröße Innengewindeankerstange			IG-M 6	IG-M 8	IG-M 10	IG-M 12	IG-M 16	IG-M 20
Ungerissener Beton C20/25 unter statischer, quasi-statischer Einwirkung								
Temperaturbereich I: 40°C/24°C	δ_{N0} -Faktor	[mm/(N/mm ²)]	0,013	0,015	0,020	0,024	0,029	0,035
	$\delta_{N\infty}$ -Faktor	[mm/(N/mm ²)]	0,052	0,061	0,079	0,096	0,114	0,140
Temperaturbereich II: 60°C/43°C	δ_{N0} -Faktor	[mm/(N/mm ²)]	0,015	0,018	0,023	0,028	0,033	0,043
	$\delta_{N\infty}$ -Faktor	[mm/(N/mm ²)]	0,060	0,070	0,091	0,111	0,131	0,161
Temperaturbereich III: 72°C/43°C	δ_{N0} -Faktor	[mm/(N/mm ²)]	0,015	0,018	0,023	0,028	0,033	0,043
	$\delta_{N\infty}$ -Faktor	[mm/(N/mm ²)]	0,060	0,070	0,091	0,111	0,131	0,161
Gerissener Beton C20/25 unter statischer, quasi-statischer Einwirkung								
Temperaturbereich I: 40°C/24°C	δ_{N0} -Faktor	[mm/(N/mm ²)]	0,032	0,032	0,037	0,042	0,048	0,058
	$\delta_{N\infty}$ -Faktor	[mm/(N/mm ²)]	0,210	0,210	0,210	0,210	0,210	0,210
Temperaturbereich II: 60°C/43°C	δ_{N0} -Faktor	[mm/(N/mm ²)]	0,032	0,037	0,043	0,049	0,055	0,067
	$\delta_{N\infty}$ -Faktor	[mm/(N/mm ²)]	0,240	0,240	0,240	0,240	0,240	0,240
Temperaturbereich III: 72°C/43°C	δ_{N0} -Faktor	[mm/(N/mm ²)]	0,032	0,037	0,043	0,049	0,055	0,067
	$\delta_{N\infty}$ -Faktor	[mm/(N/mm ²)]	0,240	0,240	0,240	0,240	0,240	0,240

¹⁾ Berechnung der Verschiebung

$$\delta_{N0} = \delta_{N0}\text{-Faktor} \cdot \tau; \quad \tau: \text{einwirkende Verbundspannung unter Zugbelastung}$$

$$\delta_{N\infty} = \delta_{N\infty}\text{-Faktor} \cdot \tau;$$

Tabelle C11: Verschiebung unter Querkzugbeanspruchung¹⁾ (Innengewindehülse)

Dübelgröße Innengewindeankerstange			IG-M 6	IG-M 8	IG-M 10	IG-M 12	IG-M 16	IG-M 20
Gerissener und ungerissener Beton C20/25 unter statischer, quasi-statischer Einwirkung								
Alle Temperaturbereiche	δ_{V0} -Faktor	[mm/(kN)]	0,07	0,06	0,06	0,05	0,04	0,04
	$\delta_{V\infty}$ -Faktor	[mm/(kN)]	0,10	0,09	0,08	0,08	0,06	0,06

¹⁾ Berechnung der Verschiebung

$$\delta_{V0} = \delta_{V0}\text{-Faktor} \cdot V; \quad V: \text{einwirkende Querlast}$$

$$\delta_{V\infty} = \delta_{V\infty}\text{-Faktor} \cdot V;$$

Apolo MEA Injektionssystem Resifix Pure Epoxi für Beton

Leistungen
Verschiebungen (Innengewindeankerstange)

Anhang C 9

Tabelle C12: Verschiebung unter Zugbeanspruchung¹⁾ (Betonstahl)

Dübelgröße Betonstahl			Ø 8	Ø 10	Ø 12	Ø 14	Ø 16	Ø 20	Ø 25	Ø 28	Ø 32
Ungerissener Beton C20/25 unter statischer, quasi-statischer Einwirkung											
Temperaturbereich I: 40°C/24°C	δ _{N0} -Faktor	[mm/(N/mm ²)]	0,011	0,013	0,015	0,018	0,020	0,024	0,030	0,033	0,037
	δ _{N∞} -Faktor	[mm/(N/mm ²)]	0,044	0,052	0,061	0,070	0,079	0,096	0,118	0,132	0,149
Temperaturbereich II: 60°C/43°C	δ _{N0} -Faktor	[mm/(N/mm ²)]	0,013	0,015	0,018	0,020	0,023	0,028	0,034	0,038	0,043
	δ _{N∞} -Faktor	[mm/(N/mm ²)]	0,050	0,060	0,070	0,081	0,091	0,111	0,136	0,151	0,172
Temperaturbereich III: 72°C/43°C	δ _{N0} -Faktor	[mm/(N/mm ²)]	0,013	0,015	0,018	0,020	0,023	0,028	0,034	0,038	0,043
	δ _{N∞} -Faktor	[mm/(N/mm ²)]	0,050	0,060	0,070	0,081	0,091	0,111	0,136	0,151	0,172
Gerissener Beton C20/25 unter statischer, quasi-statischer und seismischer Einwirkung C1											
Temperaturbereich I: 40°C/24°C	δ _{N0} -Faktor	[mm/(N/mm ²)]	0,032	0,032	0,032	0,035	0,037	0,042	0,049	0,055	0,061
	δ _{N∞} -Faktor	[mm/(N/mm ²)]	0,210	0,210	0,210	0,210	0,210	0,210	0,210	0,210	0,210
Temperaturbereich II: 60°C/43°C	δ _{N0} -Faktor	[mm/(N/mm ²)]	0,032	0,032	0,037	0,040	0,043	0,049	0,056	0,063	0,070
	δ _{N∞} -Faktor	[mm/(N/mm ²)]	0,240	0,240	0,240	0,240	0,240	0,240	0,240	0,240	0,240
Temperaturbereich III: 72°C/43°C	δ _{N0} -Faktor	[mm/(N/mm ²)]	0,032	0,032	0,037	0,040	0,043	0,049	0,056	0,063	0,070
	δ _{N∞} -Faktor	[mm/(N/mm ²)]	0,240	0,240	0,240	0,240	0,240	0,240	0,240	0,240	0,240

¹⁾ Berechnung der Verschiebung

$$\delta_{N0} = \delta_{N0}\text{-Faktor} \cdot \tau; \quad \tau: \text{einwirkende Verbundspannung unter Zugbelastung}$$

$$\delta_{N\infty} = \delta_{N\infty}\text{-Faktor} \cdot \tau;$$

Tabelle C13: Verschiebung unter Querbeanspruchung¹⁾ (Betonstahl)

Dübelgröße Betonstahl			Ø 8	Ø 10	Ø 12	Ø 14	Ø 16	Ø 20	Ø 25	Ø 28	Ø 32
Beton C20/25 unter statischer, quasi-statischer und seismischer Einwirkung C1											
Alle Temperaturbereiche	δ _{V0} -Faktor	[mm/(kN)]	0,06	0,05	0,05	0,04	0,04	0,04	0,03	0,03	0,03
	δ _{V∞} -Faktor	[mm/(kN)]	0,09	0,08	0,08	0,06	0,06	0,05	0,05	0,04	0,04

¹⁾ Berechnung der Verschiebung

$$\delta_{V0} = \delta_{V0}\text{-Faktor} \cdot V; \quad V: \text{einwirkende Querlast}$$

$$\delta_{V\infty} = \delta_{V\infty}\text{-Faktor} \cdot V;$$

Apolo MEA Injektionssystem Resifix Pure Epoxi für Beton

Leistungen
Verschiebungen (Betonstahl)

Anhang C 10